



جامعة قاصدي مرباح ورقا

كلية العلوم والعلوم الهندسية

قسم هندسة الطائرات

المُلْكُوك

تخصص : تحضير عضوي و فيتوكيمياء

فرع : هندسة كيميائية

من إعداد الطالبة : شولة سميرة

تحضر عنوان:

تحضير بعض مشتقات الأموكسيسيلين
و دراسة فعاليتها البيولوجية مع بعض أنواع البكتيريا

د. صخري لخضر مؤطرًا

2008/2007



جامعة قاصدي مرباح ورقابة

كلية العلوم والعلوم الهندسية

قسم هندسة الطرائق

المُلْكُ

تخصص : تحضير عضوي و فيتوكيمياء

فرع : هندسة كيميائية

من إعداد الطالبة : شولة سميرة

تحضر عنوان:

تحضير بعض مشتقات الأموكسيسيلين
و دراسة فعاليتها البيولوجية مع بعض أنواع البكتيريا

د. صخري لخضر مؤطرًا

2008/2007

مقدمة:

تشغل الجزيئات البيولوجية الفعالة اليوم مكانة هامة في الأوساط الحية ، لأنها القاعدة الأساسية التي تطلق منها أساسيات الصيارة ، العطور و الروائح . كما أنّ عزل الجزيئات المستخلصة طبيعياً، والتي بقيت لحد الآن تمثل نسبة 70 % من الأدوية الحالية [1] فتح مجالاً جديداً أمام الطب ، البيولوجيا ، الصيارة و الكيمياء .

و بما أن استخلاصها من منبعها الطبيعي غالباً ما يكون صعباً، و بكميات محدودة، تم تطوير التحضير العضوي الذي يسمح بالوصول إلى أشباه يمكن أن تكون الخصائص الكيميائية لها أفضل من خصائص الجزيئات الطبيعية نفسها [1]. ومن بين الجزيئات البيولوجية التي أخذت قسطاً وافراً من الاهتمام و البحث، المضادات الحيوية.

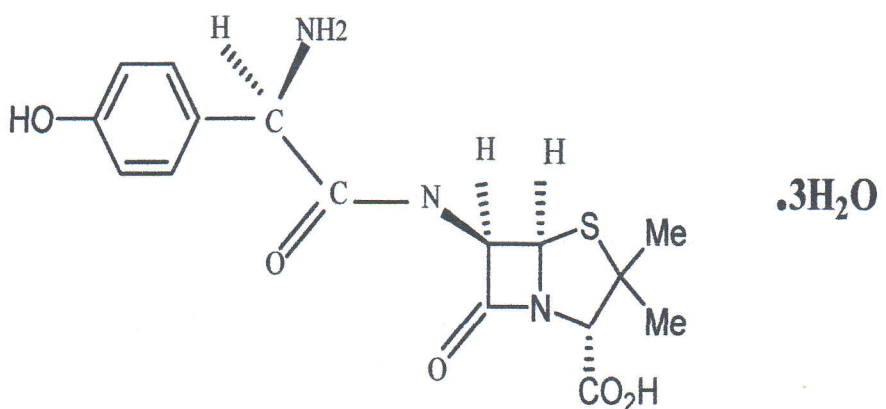
إن النجاح الذي حققه المضادات الحيوية ، كان أغلبه بفضل جزيئاتها التي كانت تستطيع العمل بصفة انتقائية ، ضد الخلايا البكتيرية ، دون لمس الخلايا الحيوانية ، لأن الخلتين ليس لهما نفس البنية ، و لأن الطرق الميتابولية للتفاعلات الكيميائية التي تجري لكليهما مختلفة [2] ، بفضل كل هذه المضادات تم الشفاء من عدد كبير من الأمراض التي تسببها البكتيريا مثل التيفوئيد (LaTyphoïde)، التببيركيلوز (LaTuberculose) ، الطاعون (LaPeste) والديفتيريا (Ladiphthérie) [2] ، لكن ليس من المفاجئ أن نعرف بأن كثرة تناول المضادات الحيوية يعزّز المقاومة ضدها ، وبالتالي فإن العالم يواجه أزمة جدية عامة و المتمثلة في الاستعمال (و سوء الاستعمال) لهذه المضادات [3,4] والذي تعاظم منذ أن بدأ استعمال المضادات التجاريه ، ومع أنها في البلدان المتقدمة لا تناوح إلا بوصفات طبية فإن التقيد لا يضمن حسن الاستعمال ، فغالباً لا يواصل الناس العلاج إلى نهايته المقرّرة و عندئذ يختزن المريض الجرع التي لم يستعملها و يعالج بها نفسه أو أحد أفراد عائلته بمقادير أقل من الكميات العلاجية المقرّرة ، و في مثل هذه الحالات فإن الجرعات غير الملائمة لن تحقق في التخلص كلياً من العامل الممرض فحسب ، بل ستشجّع على نموّ أشدّ أنواع البكتيريا الممرضة، والتي قد تسبب فيما بعد اضطرابات تصعب معالجتها [3].

إن الاستعمال العالمي واسع الانتشار للمضادات الحيوية في الطب ، في تربية الحيوانات و في الزراعة يبقى على البكتيريا المقاومة للأدوية . وللحذر من ذلك والحفاظ على فاعلية الدواء ، وقضائه على المرضيات ، فيتحتم آنذاك استعماله بمسؤولية أكبر [3] .

يعلم الباحثون بسبب الاعتبارات المذكورة آنفا على اكتشاف استرانتيجيات جديدة تهب حياة جديدة للمضادات المتوافرة حاليا ، و ذلك بإجراء بعض التعديلات على البنية الكيميائية لها ، و هذا هو مفهوم الكيمياء الصيدلية الحديث ، الذي يعتمد على إعطاء مواصفات كل مركب ، و إبراز العلاقة بين بنيته وتأثيره الفارمакولوجي ، ثم إلى إبراز المبررات التي أدت إلى إيجاده واصطناعه [5].

كان اكتشاف البنسيطيلين من طرف العالم Fleming Alexendre سنة 1928 أهم اكتشاف في القرن العشرين حيث خطي بالعلم و خاصة الطب خطوة عظيمة نحو القضاء و التصدی للأمراض المميتة التي كانت و ما زالت تهدّد حياة الكائن البشري [1].

لكن نظراً لمحدودية هذه الأخيرة في التصدی لأنواع كثيرة من البكتيريا اشتقت منها أشباه كثيرة حسب تقنيات مدرروسة و كان أشهرها الأموكسيسيلين ، وهو مركب نصف محضر ، استطاع القضاء على مجموعة كبيرة من البكتيريا. لكنه هو أيضاً لديه بعض النقصان و المتمثلة أساساً في حساسيته لإنزيمات تفرزها بعض أنواع البكتيريا التي تحل هذا الأخير و تجعله غير فعال .



شكل I-14- بنية الأموكسيسيلين

المدخل العام والهدف من المذكرة :

قمنا بتقسيم عملنا هذا إلى خمسة فصول :

الفصل الأول: و هو أطول فصل حيث قسمناه إلى أربعة أجزاء.

الجزء الأول: تناولنا فيه سردا تاريخيا لأهم المضادات الحيوية : مصدرها ، طبيعتها ، عملها ضد البكتيريا و بنية بعضها. ثم نظرنا إلى تصنيفها حسب الميكانيزم و حسب الهدف المهاجم و أخيراً تناولنا حركتها الدوائية.

الجزء الثاني : تناولنا فيه عائلة البيتا-لاكتام، هذه العائلة من المضادات هي الأكثر غنى من حيث المشتقات، الاستعمال والتداول و أيضاً الفعالية ضدّ عدد كبير من أنواع البكتيريا الخطيرة. حيث تناولنا في هذا الجزء تعريفها، مختلف الميكانيزمات المتّبعة للقضاء على البكتيريا، أقسامها و حركتها الدوائية .

الجزء الثالث : تناولنا فيه أشهر مركبات عائلة البيتا لاكتام وهي البنسيلينات، حيث نظرنا إلى لمحّة تاريخية عنها ، بنيتها ، تصنيفها، الخواص الفيزيو-كيميائية لها، و التقنيات الثلاثة المتّبعة لاشتقاق بعض المضادات انطلاقاً من المركب الأصل وهو البنسيلين G ، فتناولنا في التقنية الأولى كيفية القضاء على حساسيتها للأحماض، و في التقنية الثانية كيفية القضاء على حساسيتها للإنزيمات β -لاكتاماز التي تفرزها بعض أنواع البكتيريا ، وفي التقنية الثالثة تناولنا طريقة توسيع مجال الفعالية لهذه المضادات، وفي كل تقنية أعطينا أمثلة عن المشتقات التي حضرت. ثم حوصلنا أشهر المركبات المشتقة في جدول .

الجزء الرابع : نظرنا فيه إلى جزيئة الأموكسيسين، وهي أشهر مشتقات البنسيلين ، بنيتها، صيغتها الكيميائية، خصائصها ، الخواص الفيزيو-كيميائية لها ، دواعي استعمالاتها، ميكانيزم عملها ضد البكتيريا، حركتها الدوائية و مدة العلاج بها. ثم تناولنا سبب تزاوجها مع حمض الكلافيلانيك الذي أعطينا عنه أيضاً بعض المعلومات كالتسمية العلمية، الصيغة، وميكانيزم عمله وفي الأخير نظرنا إلى حركتها الدوائية أي فارماكولوجيتها.

الفصل الثاني: تناولنا فيه عموميات حول البكتيريا خصائصها ، أنواعها ، طريقة مقاومتها لمختلف أنواع المضادات الحيوية و كذا نظرنا إلى أربعة أنواع من البكتيريا الممرضة حيث أعطينا لمحّة شاملة عنها و الأمراض التي تسببها و الميكانيزم الذي تتبعه ضدّ الأموكسيسين.

الفصل الثالث : تناولنا فيه لمحـة حول التصنيع العضوي أي التفاعلات التي قمنا بها كالأسلحة ، الديازة ، الأسترة و الهلجنة .

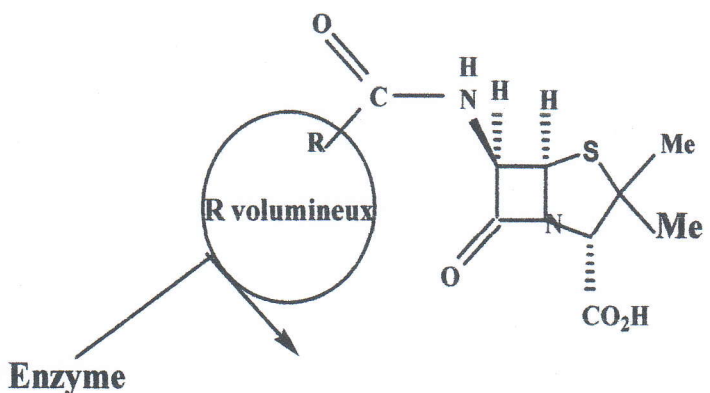
الفصل الرابع : تطرّقنا فيه إلى كيفية تحضير مشتقات الأموكسيسيلين : سبب اشتقاقةها ، التقنيات المتّبعة لتحضير هذه المشتقات اعتماداً على نقطتين : النقطة الأولى : حساسيتها للبنيسيليناز و هي إنزيمات تفرّزها بعض أنواع البكتيريا و النقطة الثانية : القضاء على الإسهال الذي يمكن أن تسبّبه أثناء تناولها ، ثم تطرّقنا إلى الآلية ، شروط هذه التفاعلات ، طريقة التحضير و في الأخير الدراسة التحليلية لهذه المضادات الجديدة .

الفصل الخامس : بعد تحضير المركبات قمنا بدراسة الفعالية البيولوجية لهذه المشتقات على أربعة أنواع من البكتيريا التي اختيرت خصيصاً لأنها تقاوم المضادات بإفراز إنزيماتها المحللة لهذه الأخيرة ، والتي أظهرت مقاومة ملحوظة للمضاد الأصلي أي الأموكسيسيلين ، و في الأخير أعطينا ملخصاً عاماً عن مجمل الخطوات التي قمنا بها .

الجانب العملي:

بعد أن تطرقنا في الجانب النظري إلى المضادات الحيوية ، العائلات المميزة لها و طريقة تعاملها مع مختلف أنواع البكتيريا، و بعد أن تناولنا أهم هذه المضادات والمنتشرة في البنسيلين و مشتقاتها ورگزنا على أشهرها ألا وهو الأموكسيسين و حيث تعرقنا على بعض خصائصه وعلى إيجابياته و سلبياته ، أي نقاط قوته و نقاط ضعفه ، وبعد أن أمعنا النظر في التقنيات التي اتبعها العلماء لاستقاد مضادات حيوية جديدة من جزيئة البنسيلين ، حذونا حذو هؤلاء العلماء في عملنا المتواضع هذا و قمنا ببعض التعديلات على جزيئة الأموكسيسين ، حيث صنّعنا بعض المركبات و ذلك استناداً على نقطتين أساسيتين تعتبران نقطتي ضعف في هذه الجزيئه.

النقطة الأولى: هي أنّ الأموكسيسين حساس لإنزيمات تفرزها أنواع من البكتيريا تسمى البنسييليناز و البيتلاكتاماز ، والتي تقوم بكسر الحلقة الفعالة في هذه الجزيئه. و لحلّ هذا المشكل اتبعنا إحدى التقنيات التي اتبعها الباحثون ، والمنتشرة في ثبيت مجموعة كبيرة على السلسلة الأساسية تكون كالحافظة تحمي المضاد من الهجوم الإنزيمي البكتيري أثناء اقتحامه للخلية ،



وذلك بثبيت بعض المركبات على حلقة البنزن اعتماداً على تفاعلات الاستبدال الالكتروفيلي حيث قمنا به : [6,7]

1- تفاعل الأسيلة ببلاماءات حمض الخل.

2- تفاعل الهلجنة باليود.

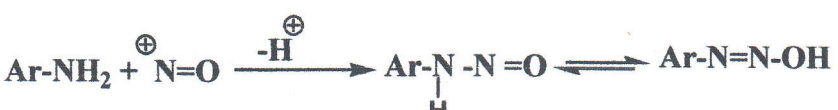
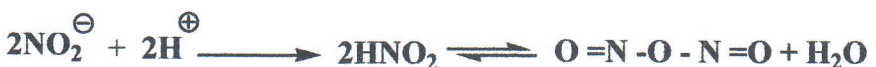
3- تفاعل الديازة (التزاوج مع ملح الديازونيوم)

النقطة الثانية : تتمثل في أن الأموكسيسيلين بسبب احتوائه على وظيفتين : الوظيفة الحمضية (-CO₂) والوظيفة القاعدية (NH₂) قد يسبب بعض الأعراض غير المرغوب فيها كالأسهال الشديد المتبوع بالآلام حادة في البطن [2] ، ولحل هذا المشكل قمنا أيضاً بإتباع تقنية اتباعها الصيادلة لتعديل خصائص الذوبانية على مستوى الجدار المعموي وذلك بإخفاء الوظيفة الحمضية، حيث قمنا بإجراء تفاعل الأسترة بكل من الكحولين الإيثانول والإيزوبروبانول و هما المتوفرين.

بعد أن تم تحضير المركبات السّة ، قمنا بدراسة الفعالية البيولوجية لهذه المركبات الجديدة على بعض أنواع البكتيريا للأسباب المذكورة آنفاً و مقارنتها مع فعالية هذا الأخير تجاهها .

مركبات الأزو: [8]

لتحضير هذه المركبات اتبعنا خطوتين أساسيتين: الخطوة الأولى تتمثل في تحضير ملح الديازونيوم :

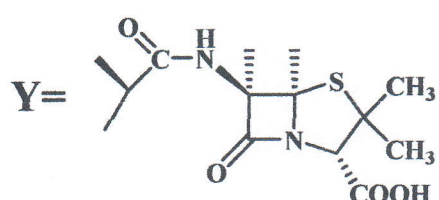
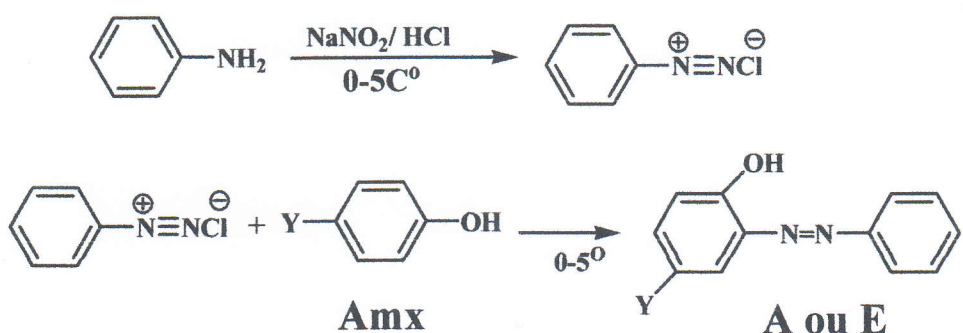


مخطط IV-1-آلية تشكيل ملح الديازونيوم

تحضير هذا الملح يكون عند الدرجة ($0^{\circ} - 5^{\circ}$) لأن هذا الأخير غير مستقر فوق هذه الدرجة. الخطوة الثانية يطبق فيها تفاعل التزاوج بين ملح الديازونيوم المتشكل ومركب الأموكسيسيلين في وجود هيدروكسيد الصوديوم، وهذا التفاعل يتمّ وفق آلية الاستبدال الإلكتروني مع الحفاظ على نفس درجة الحرارة لنفس الأسباب. موقع الاستبدال يكون في الموضع أرثو لأن الموضع بارا مشغول بمجموعة (-OH).

تحضير مركب A:

مبدأ التفاعل:



مخطط IV-2-آلية تحضير المركب A ou E

طريقة التحضير:

كما سبق الذكر فإن تفاعل الديازة يتم على مرحلتين : [9, 12, 11, 10]

المرحلة الأولى : تشكيل ملح الديازونيوم:

في بيشر سعته 800 ml أذبنا الأتيلين (6.35g, 68.28mmol) في محلول مكون من 20.6ml من الماء و نفس الحجم من حمض HCl المركز، مع مراقبة الحرارة. وضعنا المزيج في حمام تلجي حتى الوصول إلى الدرجة ($0^{\circ} - 5^{\circ}$) و من جهة أخرى وضعنا في بيشر سعته

في حمام ثلجي وعند بلوغ الدرجة 0°C أضفنا محلول NaNO_2 إلى محلول الأول (الأنيلين، الماء والحمض) بكميات صغيرة جداً لأن التفاعل ناشر للحرارة مما يسبب تفككاً للملح المتكوّن (الملح عبارة عن راسب أصفر).

المرحلة الثانية : تفاعل التزاوج :

وضعنا في بيشر آخر (g 10.5, 25.06mmol) من مسحوق الأموكسيسيلين (أموكسيسيلين الأقراص) مذاباً في ml 12.26ml من هيدروكسيد الصوديوم 10% ، برّدنا محلول أيضاً حتى الدرجة 5°C مع التحريك المستمر، ثم أضفنا ببطء وبكميات قليلة ملح الديازونيوم فلاحظنا تلون محلول باللون الأحمر الأجربي، أبقينا محلول المتكوّن تحت الرج المستمر لمدة 30min ، رشح و جفف ثم غسلناه بإضافة كمية من حمض كلور الماء المخفّف ترك مدة ثم رشحنا محلول ثم أضفنا للرشاحة ml 6.5 من القاعدة NaOH 10% ، رشحناه مرة أخرى و جففنا الناتج الذي كان عبارة مسحوق أحمر آجربي وزناه فكان المردود (34%, 3.57g)

نتائج التحليل:

درجة الانصهار: $140^{\circ}\text{C} - 135^{\circ}\text{C}$

$\text{V}_{\text{max}} (\text{KBr DiSc , cm}^{-1})$: 1683(c=o lactame) , 1732.0(c=o acide)

، 1141.4(C-N) ، 2900(C-H alipha) ، 1587.3(-N=N-) 1274.9(c-o) ، 3000-3300 (O-H)

$^1\text{H RMN} (\text{CDCl}_3, 200 \text{ MHz}) \delta (\text{ppm})$:

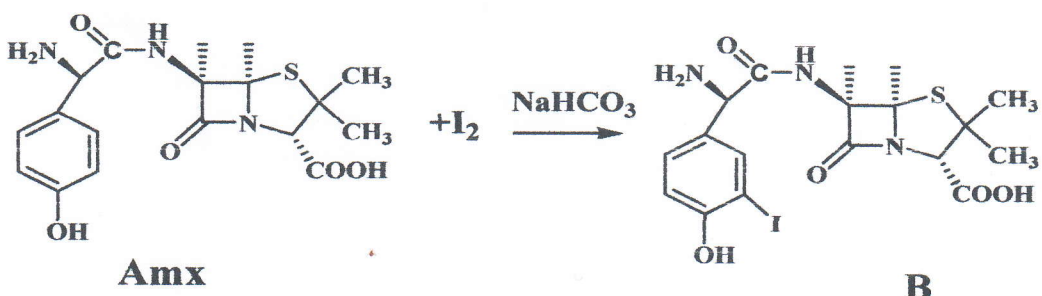
1.89(6H, s, 2CH_3), 6.93- 8(m ,8H)

ملاحظة : قمنا بإجراء نفس التجربة في تحضير المشتق E لكن باستعمال الأموكسيسيلين المستعمل في الحقن فتحصلنا أيضاً على مسحوق أحمر آجربي وبنفس المردود لكن يختلف عنه قليلاً في اللون .

في التفاعل الثاني (تحضير المركب B) و الثالث (تحضير المركب C) قمنا بإتباع نفس التقنية لنفس الأسباب ، حيث قمنا في التفاعل الأول بثبيت اليود على حلقة البنزن الموجودة في السلسلة الأساسية اعتماداً على تفاعل الاستبدال الألكتروفيلاي ، وفي التفاعل الثاني ثبّيت الكربوكاتيون CH_3CO^+ على الحلقة أيضاً بتفاعل الأسيلة ، والثبّيت في كلاً التفاعلين يكون في الموضع أرثو لأن الموضع بارا مشغول بمجموعة (-OH) .

تحضير المشتق B :

مبدأ التفاعل:



مخطط IV-3-آلية تحضير المركب B

طريقة التحضير: [9, 6]

في بישر سعة 250ml مزود بمحرك مغناطيسي قمنا بوضع (4g, 9.54mmol) من الأموكسيسين وأضفنا إليه (1.25g, 16mmol) من Na_2CO_3 و 12.5 ml من الماء البارد (15°C - 12°C) مع تحريك المزيج ، ثم أضفنا إليه (15 mmol , 2g) من مسحوق اليود بكميات قليلة في فترات متقارنة أين لاحظنا اختفاء لون اليود ، عند الاستمرار في التحريك لمدة 30mm لاحظنا تشكيل راسببني بعد الترشيح وغسل هذا الراسب بالماء عدة مرات وزن وقدر المردود به: (0.26g , %13) .

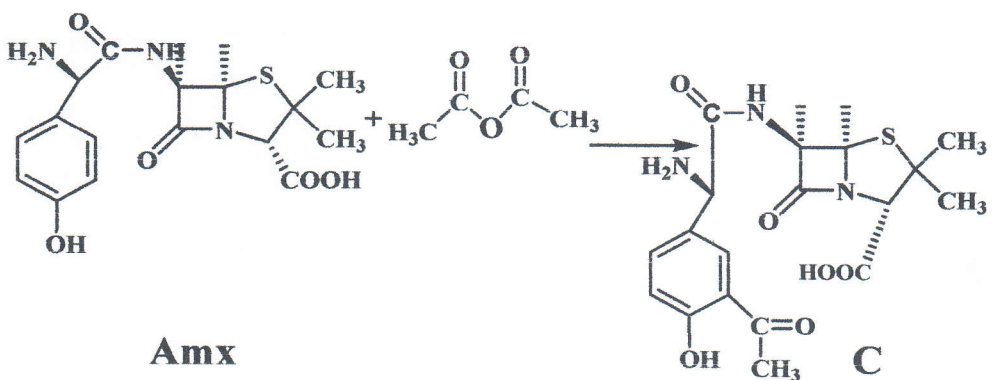
التحليل الآلي: درجة الانصهار: 130°C - 140°C

V_{max} (KBr DiSc , cm⁻¹): 1685.7 (c=o lactame) , 1774 (c=o acide) ,
840(1,2,4trisubst) , , 2986.2 (C-H aliphatic) , 3500-3000(O-H) ,

600-800 (C-I aromatique)

تحضير المركب : C

مبدأ التفاعل :



4-مخطط آلية تحضير المركب C

طريقة التحضير : [13,14]

في ببشر سعته 250 ml وضعنا 150ml من الماء المقطر مع 5ml من حمض HCl المركز وأضفنا إلى المزيج مع التحريك (6.96g, 16.63 mmol) من الأموكسيسيلين ، قمنا بتسخين المزيج حتى الدرجة 50°C ثم أضفنا على دفعات قليلة (2.7g, 2.5ml) من بلا ماء حمض الخل وانتظرنا حتى زوال الرائحة ، بعد ذلك أضفنا وبسرعة (3g من خلات الصوديوم مذابة في 50ml من الماء) برد المزيج في حمام ثلجي ، فلاحظنا تشكيل بلورات صفراء ، رشحنا المحلول وغسلنا الراسب جيداً بالماء البارد ثم أعدنا غسله جيداً بالماء المقطر البارد جففت البلورات ووزنت فكان المردود (2.28 g , 18.5 %)

نتائج التحليل : درجة الانصهار : 190°C - 195°C

V_{max}(KBr DiSc , cm⁻¹) :

844.8 (1,2, 4trisubst), 1652.7 (c=o lactame), 1637.5 (c=o cetone)

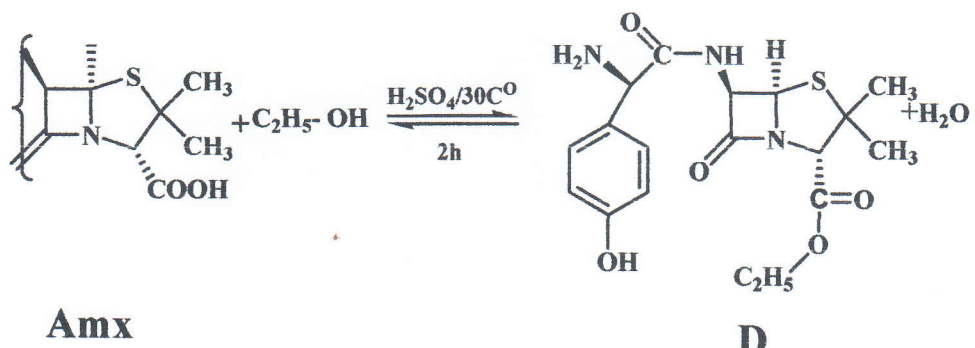
1730.4 (c=o acide carboxilique) , 1288.4(c-o)

أما في التفاعلين الرابع والخامس (تحضير كل من المركب D و المركب F) فعلى الرغم من أن جزيئة الأموكسيسيلين تمتنّص جيداً على مستوى الأمعاء بفضل مجموعة (OH-) التي تجعلها أكثر قطبية إلا أنها تسبّب إسهالاً حاداً و آلاماً في البطن بسبب احتواها على الوظيفتين الحمضية و القاعدية لذا ارتأينا أن نستحدث مضادات أخرى ، وذلك بإخفاء الوظيفة الحمضية أي إجراء أسترة فيشر لهذه الجزيئة تطبيقاً لما يفعله الصيادلة لتعديل خصائص الذوبانية للمتفاعلات الأساسية أي الأموكسيسيلين، وال فكرة طبعاً مأخوذة عن الباحثين عن مشتقات البنسيلين.

والأسترة كانت بـ كحولين بسيطين و متوفرين هما الإيثانول و الإيزوبروبانول .

تحضير المشتق D:

مبدأ التفاعل:



مخطط 5-IV - آلية تحضير المركب D

طريقة التحضير: [15،16]

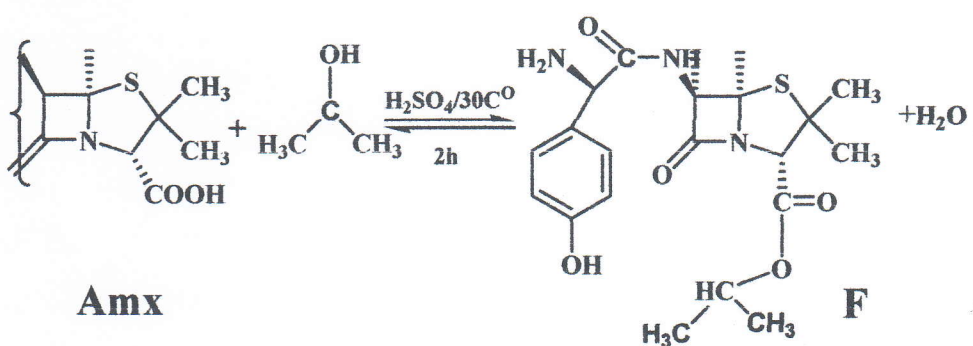
في دورق كروي سعته ml 250 وضعنا 50 ml من C_2H_5OH ، و 2ml من H_2SO_4 من المركّز و (5.1 g، 12.17mmol) من الأموكسيسيلين ، وزوّدنا الدورق بميرّد للحفظ على درجة حرارة التفاعل، مع التحريك بمحرك مغناطيسي ، حيث تواصل التحريك لمدة ساعتين تحت درجة حرارة لا تزيد عن $30^{\circ}C$ والتي كانت منخفضة نوعاً ما لأنّ الأموكسيسيلين يتأثر بالحرارة وبالتالي يتفكك (يفقد خاصيّته البلوريّة) [14] ، وفي الأخير قمنا بإضافة محلول يحتوي على 25ml Na_2CO_3 وتركنا المزيج يبرد لعدة أيام إلى أن تشكّلت بلورات برّتقالية تميل إلى الأحمراء ، قمنا بترشيح المحلول وغسله بالماء فكان المردود (1.89g، 37.2%).

نتائج التحليل: درجة الانصهار: 200°C-210°C

$\text{V}_{\text{max}}(\text{KBr DiSc, cm}^{-1})$: 1705.0(c=o ester), 1604.7(c=c aromat),
1020.3(c-o)

تحضير المشتق F:

مبدأ التفاعل :



مخطط 6-IV. آلية تحضير المركب F

طريقة التحضير: [16,15]

قمنا بتحضير هذا المشتق بنفس طريقة تحضير المشتق D وذلك انطلاقاً من (13.12mmol, 5.5g) من الأموكسيسيلين و 50ml من إيزو البروبانول و 2ml من H_2SO_4 المركز فتحصلنا على بلورات صفراء ذهبية، وذلك بعد مدة شهر قمنا بإعادة غسله بالماء المقطر فكان المردود (2.09 g, % 38.16).

نتائج التحليل:

درجة الانصهار: 160°C-170°C

$\text{V}_{\text{max}}(\text{KBr DiSc, cm}^{-1})$: 1718.5(c=o ester), 1782.1(c=o lactame),
1228.2(c-o), 3381.0 (O-H), 3081.2(C-H arom),
623.0(cyc. Arom.monosub).

الدراسة البيولوجية للمركبات الجديدة :

بعد تحضير بعض مشتقات الأموكسيلين ، توجهنا لمعرفة الخصائص البيولوجية ، التي يمكن أن تحملها هذه المركبات الجديدة ، حيث قمنا بدراسة تأثير هذه المركبات على أربعة أنواع من البكتيريا الضارة، وقد تم اختيار هذه الأنواع الأربع من البكتيريا لخصوصيتها ضد الأموكسيلين حيث أنها تعتبر من أقوى أنواع البكتيريا: فالبكتيريا *E.coli* تقاوم الأموكسيلين بإفرازها إنزيمات البيتا-لاكتاماز التي تفكك حلقة β -لاكتام الجزء الفعال في الجزيئة ، أما البكتيريا *Pseudomonas* فهي أقوى هذه الأنواع لأنها تستعمل عدة طرق للتصدي للمضاد: إفراز البيتا-لاكتاماز ، تعديل الموضع في القنوات (Les porines) (أو تعديل البروتينات PLP) كما تستعمل مضخات طاردة تقوم بإبعاد المضاد مما يجعل من الصعوبة أو حتى المستحيل الوصول إلى هدفه (PLP). أما *S.aureus* فهي أيضاً أظهرت مقاومة قوية للمضاد بإفرازها إنزيم البنيسيليناز وهي نقطة ضعف جزيئ الأموكسيلين وأخيراً البكتيريا *Proteus* تعتبر أيضاً من أقوى أنواع البكتيريا لأنها أيضاً تفرز إنزيمات β -لاكتاماز التي تفكك الجزيئة. قمنا بهذا العمل في مستشفى محمد بوضياف بورقلة .

2-2- طريقة العمل:

1-2- البحث عن المذيب المناسب:

لتطبيق هذه الاختبارات قمنا أولاً بالبحث عن المذيب المشترك والمناسب للمركبات المحضرة ، فنظراً لأنها تتفكك في المذيبات العضوية وتفقد فعاليتها ، وأيضاً لأنها شديدة الذوبان في الكحولات والبكتيريا حساسة لهذه المذيبات ، ونظراً أيضاً لكونها ثنائية القطبية، أتبناها في محلول NaOH 20% لنجعل عليها على شكل ملح و هذا الأخير يمكنه الذوبان في الماء . و بعد أن قمنا باختبار بيولوجي لهذا المحلول وجدنا أن فعاليته كانت ضعيفة فتم اختياره .

2-2- تحضير المحاليل:

قمنا بتحضير ستة محاليل، كل محلول أخذنا له ثلاثة تركيزات مختلفة

أ-تحضير الوسط الزراعي:

بعد إذابة الوسط الجيلوزي Muller Hinton (الوسط المغذي) ، سكب بكميات محددة في علب بتري علبة/ 20ml ، ثم وزّع على كامل العلبة بشكل متجانس ، وجفت في الفرن لمدة 20min لازالة الرطوبة المتبقية .

ب-تحضير الأقراص:

قصصنا أوراق الترسيح البيفارد رقم 3 على شكل أقراص ذات قطر 6mm ثم وضعناها في أنبوب اختبار للتعقيم داخل الفرن في درجة حرارة 120°C مدة 30 min

ج-تحضير المعلق الميكروبي: أخذنا باستخدام ملقط بلاستيكي جزءة من البكتيريا ، وغمسناها في أنبوب اختبار يحوي 10ml من الماء الفيزيولوجي (كلوريد الصوديوم) ، ثم شتلناها بكميات قليلة في علب بتري المحضرة مسبقا (بعد تصلب الوسط الجيلوزي)، أدخلنا العلب للتجفيف لمدة 15 min في درجة 37°C

د-تحضير المضاد الحيوي: بعدها وضعنا أقراص الاختبار معقمة و مشبعة بتراكيز مختلفة للمضادات الحيوية المراد اختبار فعاليتها ، ثم أعدنا العلب للحاضنة تحت درجة 37°C لمدة 16 h أو 24 h

V-3-2-دراسة تأثير المركبات الستة على مختلف أنواع البكتيريا

V-3-2-1-دراسة تأثير المركبات الست على البكتيريا E.coli

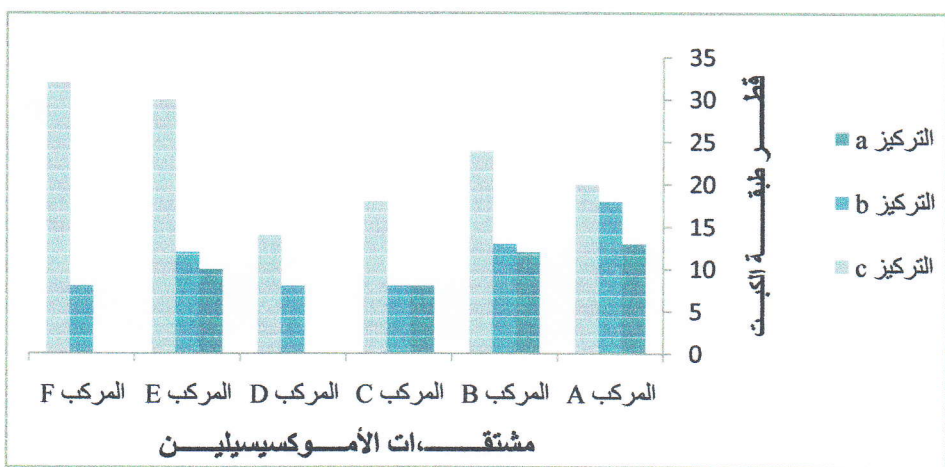
قمنا بأخذ ثلاثة تراكيز مختلفة لكل مركب ، وبعد التحضير والزرع ببكتيريا E.coli و الحقن بالمركبات المحضرة لمدة 24h.

قراءة النتائج و المناقشة: قمنا بقياس قطر طبقة الكبت المتواجدة في علب بتري، وقد كررنا العملية عدة مرات للتأكد من النتائج، فخلصنا إلى النتائج المدونة في الجدول التالي:

التركيز (مول/لتر)	قطر منطقة التثبيط (مم)	التركيز	
1.4	13	a التركيز	المركب A
4.4	18	b التركيز	
8.1	20	c التركيز	
1.4	12	a التركيز	المركب B
4.4	13	b التركيز	
8.1	24	c التركيز	
1.4	8	a التركيز	المركب C
4.4	8	b التركيز	
8.1	18	c التركيز	
1.4	-	a التركيز	المركب D
4.4	8	b التركيز	
8.1	14	c التركيز	
1.4	10	a التركيز	المركب E
4.4	12	b التركيز	
8.1	30	c التركيز	
1.4	-	a التركيز	المركب F
4.4	8	b التركيز	
8.1	32	c التركيز	

جدول V-1-تغير طقة الكبت بتغير التركيز بالنسبة لبكتيريا *E.coli*

تفسير النتائج : لتوضيح النتائج أكثر قمنا برسم أشكال هندسية ، توضح تغير طقة التثبيط لبكتيريا *E. coli*.



مخطط V-1-تأثير مشتقات الأموكسيلين على البكتيريا *E. coli*

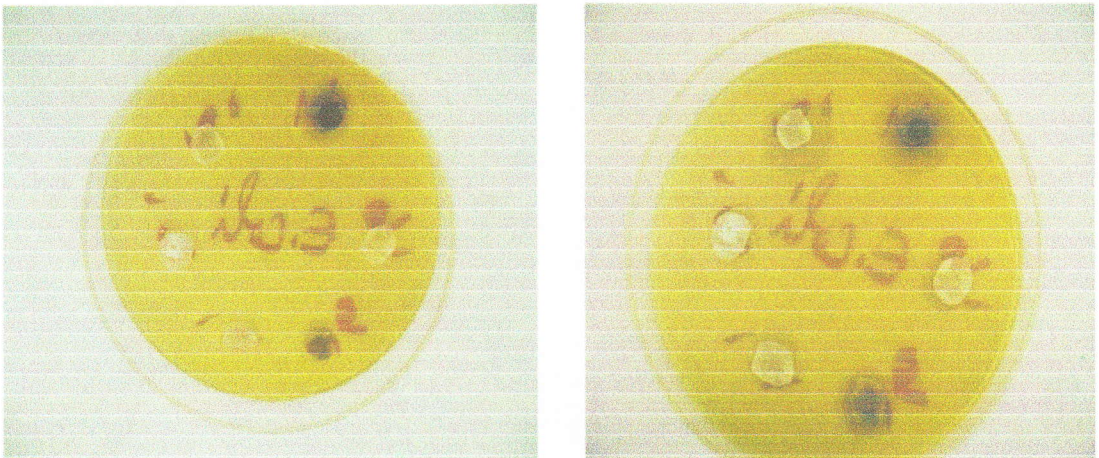
عند التركيز الضعيف : من الجدول 1-V فإن قطر التثبيط 13 mm للمركب A ، قطر التثبيط 12 mm للمركب B و 10mm للمركب E و 8 mm للمركب C يظهر أن البكتيريا *E. coli*. ضعيفة الحساسية تجاه هذه المركبات.

بينما المركب D و المركب F لم يظهرا أية فعالية.

عند التركيز المتوسط : من الشكل قطر التثبيط 8 mm لكل من المركبات F,D,C و قطر التثبيط 12 mm و 13 mm لكل من المركبين B و E إذن البكتيريا ضعيفة الحساسية لكل هذه المركبات.

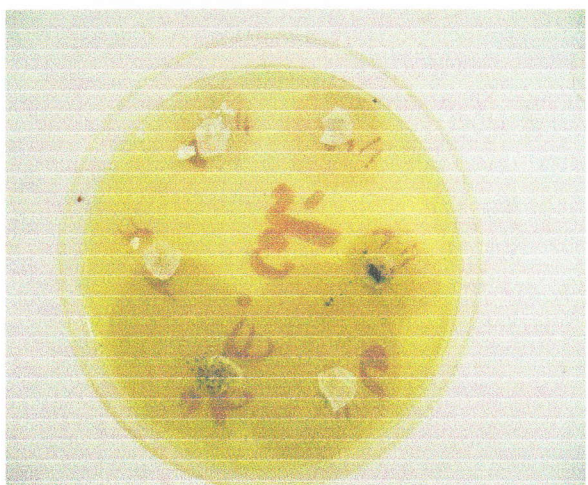
قطر التثبيط 18 mm للمركب A و بالتالي فالبكتيريا حساسة لهذا الأخير .

عند التركيز القوي: قطر التثبيط 14 mm بالنسبة للمركب D إذن المركب ضعيف الحساسية بينما المركبات الباقيه فقد أظهرت حساسية جديرة بالاهتمام ، وقد ربناها حسب تزايد حساسيتها تجاه هذه البكتيريا : المركب C (18mm) ، المركب A (20 mm) ، المركب B (32 mm) ، المركب E (24 mm) و في الأخير المركب F (30mm).



(2)

(1)



(3)

شكل V-1- نتائج تأثير مشتقات الأموكسيسيلين على البكتيريا E.coli بتراسيزها الثلاثة

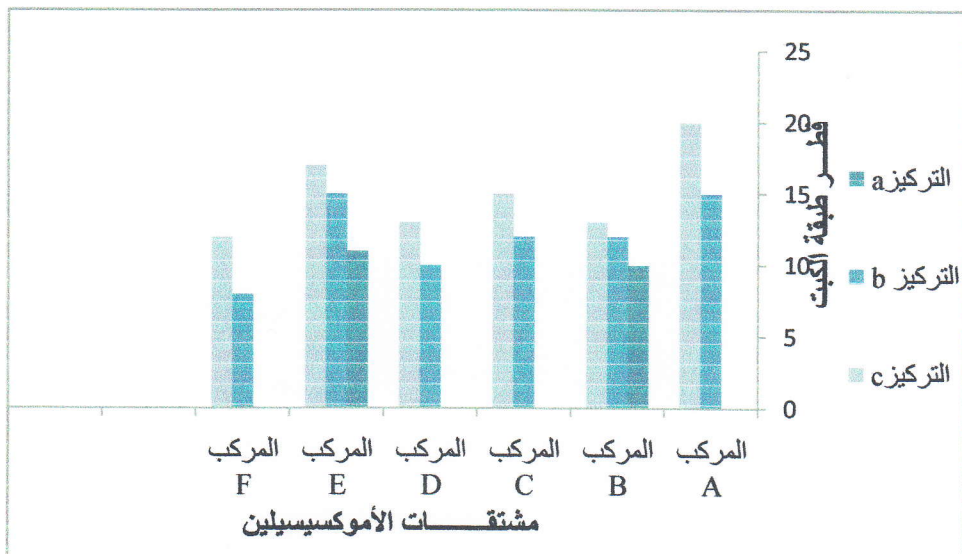
V-3-2 دراسة تأثير المركبات الستة على البكتيريا: *Proteus*

قمنا بأخذ ثلاثة تركيزات مختلفة لكل مركب ، وبعد التحضير و الزرع ببكتيريا *Proteus* والحقن بالمركبات المحضرة لمدة 24h ، قمنا بقياس قطر طبقة الكبت المتواجد في علب بتري ، حيث أيضاً قمنا بتكرار العملية عدة مرات للتأكد من النتائج ، فخلصنا إلى النتائج المدونة في الجدول التالي:

المركب	التركيز a	التركيز b	التركيز c	التركيز d	التركيز e	التركيز f
المركب A	التركيز a	التركيز b	التركيز c			
	التركيز a	التركيز b	التركيز c			
	التركيز a	التركيز b	التركيز c			
المركب B	التركيز a	التركيز b	التركيز c			
	التركيز a	التركيز b	التركيز c			
	التركيز a	التركيز b	التركيز c			
المركب C	التركيز a	التركيز b	التركيز c			
	التركيز a	التركيز b	التركيز c			
	التركيز a	التركيز b	التركيز c			
المركب D	التركيز a	التركيز b	التركيز c			
	التركيز a	التركيز b	التركيز c			
	التركيز a	التركيز b	التركيز c			
المركب E	التركيز a	التركيز b	التركيز c			
	التركيز a	التركيز b	التركيز c			
	التركيز a	التركيز b	التركيز c			
المركب F	التركيز a	التركيز b	التركيز c			
	التركيز a	التركيز b	التركيز c			
	التركيز a	التركيز b	التركيز c			

جدول V-2 تغير طبقة الكبت مع التركيز بالنسبة للبكتيريا *Proteus mirabilis*

تفسير النتائج : لتوضيح النتائج أكثر قمنا برسم أشكال هندسية ، توضح تغير طبقة التثبيط لبكتيريا *Proteus*.



مخطط V-2 تأثير مشتقات الأموكسيسيلين على البكتيريا Proteus

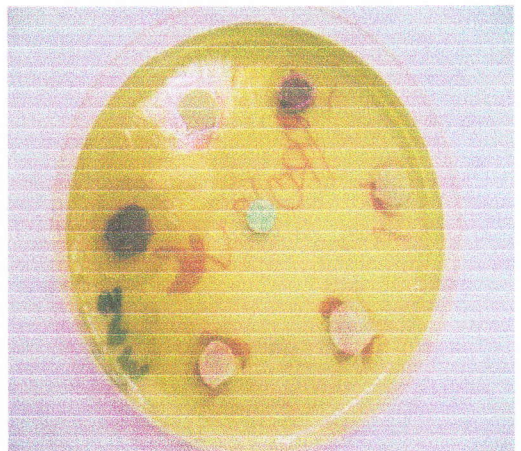
عند تركيز ضعيف: قطر التثبيط للمركبات الستة هو ما بين 0 mm و 11mm و بالتالي فالبكتيريا عديمة أو ضعيفة الفعالية تجاهها.

عند التركيز المتوسط : قطر التثبيط 12mm 12 mm 10 mm 8 mm للمركبات F، D، C و B يبين أنها ضعيفة الفعالية ضد هذه البكتيريا بينما المركبين E ، A فيظهر قطرهما (15mm) أن البكتيريا متوسطة الحساسية تجاههما.

عند التركيز القوي : قطر التثبيط للمركبات F ، B و D هو على التوالي 13mm و 12mm و 13mm إذن البكتيريا ضعيفة الحساسية لهم .

المركب C قطر تثبيته 15 mm، نستطيع القول أنه متوسط الفعالية ضد هذه البكتيريا .

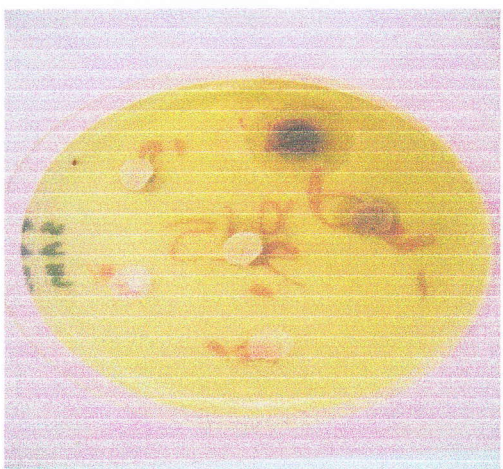
قطر الكبت 17 mm للمركب E و قطر الكبت 20 mm للمركب A يبينان أن البكتيريا Proteus حساسة لهذين المركبين .



(2)



(1)



(3)

شكل V-2- نتائج تأثير مشتقات الأموكسيسيلين على البكتيريا *Proteus* بترافيزيزها الثلاثة

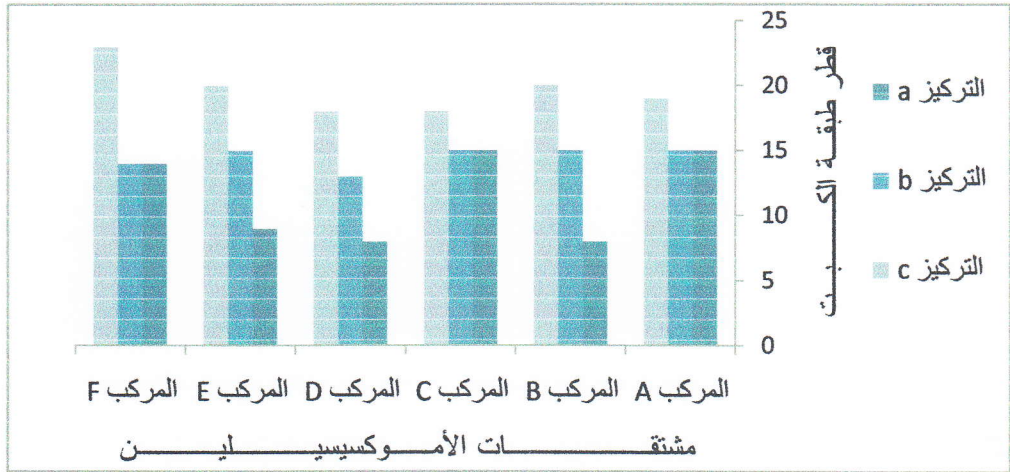
V-3-3- دراسة تأثير المركبات الستة على البكتيريا :Staphylocoque

قمنا بأخذ ثلاثة تركيزات مختلفة لكل مركب ، وبعد التحضير والزرع ببكتيريا *S.aureus* والحقن بالمركبات المحضرة لمدة 24h ، قمنا بقياس قطر طبقة الكبت المتواجد في علب بتري ، فخلصنا إلى النتائج المدونة في الجدول التالي :

التركيز ($^{10}3\text{مول/لتر}$)	قطر منطقة التثبيط (مم)	التركيز	المركب
1.4	15	a التركيز	المركب A
4.4	15	b التركيز	
8.1	19	c التركيز	
1.4	8	a التركيز	المركب B
4.4	12	b التركيز	
8.1	12	c التركيز	
1.4	15	a التركيز	المركب C
4.4	15	b التركيز	
8.1	18	c التركيز	
1.4	8	a التركيز	المركب D
4.4	13	b التركيز	
8.1	18	c التركيز	
1.4	9	a التركيز	المركب E
4.4	15	b التركيز	
8.1	20	c التركيز	
1.4	14	a التركيز	المركب F
4.4	14	b التركيز	
8.1	23	c التركيز	

V-3-4- جدول تغير طبقة الكبت بدلالة التركيز بالنسبة لبكتيريا S.aureus

تفسير النتائج : لتوضيح النتائج أكثر قمنا برسم أشكال هندسية ، توضح تغير طبقة التثبيط لبكتيريا *S.aureus*.

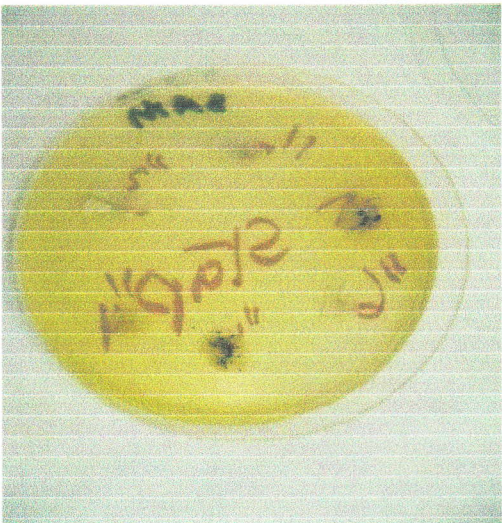


مخطط V-3-تأثير مشتقات الأموكسيلين على البكتيريا S.aureus

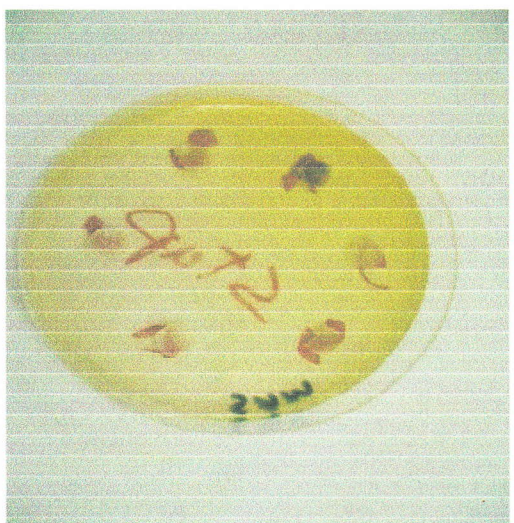
عند التركيز الضعيف : قطر الكبت 8 mm للمركبين B و D و 9mm للمركب E و يبين أنهما ضعفاء الفعالية والقطر 14 mm للمركب F 15mm للمركبين C و A يبين أيضا أنهما متوسطي الفعالية .

عند التركيز المتوسط: قطر الكبت للمركبات الخمسة C,E,F,B,D و A يتراوح بين 13mm و 15mm يدل على أنها ضعيفة الفعالية .

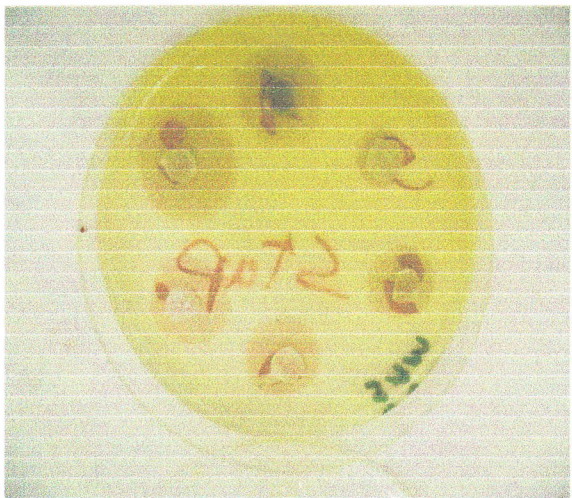
عند التركيز القوي : كل المركبات أظهرت فعالية معتبرة حيث أن قطر الكبت تراوح بين 18mm و 23mm خصوصا وأن هذه البكتيريا معروفة بمقاومتها للأموكسيلين ، هذا يدل على أن التقنية التي اتبناها كانت ناجعة لحد ما . الحالة الشاذة التي أظهرت فعالية ضعيفة هي المركب B (12mm)



(2)



(1)



(3)

شكل V-3- نتائج تأثير مشتقات الأموكسيسيلين على البكتيريا S.aureus بتر اكيز ها الثلاثة

4-3-2- دراسة تأثير المركبات الستة على البكتيريا Pseudomonas

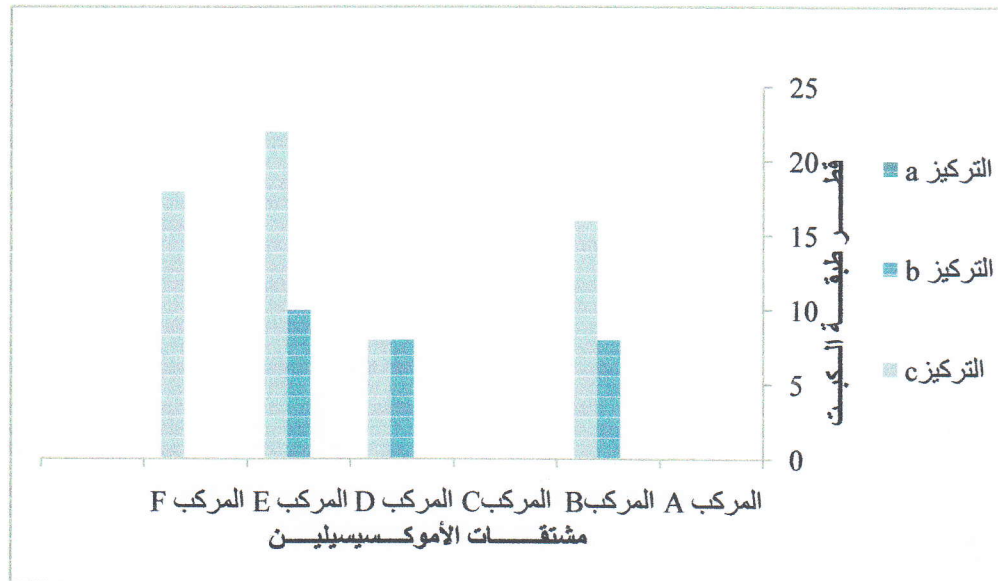
قمنا بأخذ ثلاثة تراكيز مختلفة لكل مركب ، وبعد التحضير والزرع ببكتيريا و الحقن بالمركبات المحضرة لمدة 24h ، قمنا بقياس قطر طبقة الكبت المتواجد في علب بتري ، فخلصنا إلى النتائج المدونة في الجدول التالي :

تفسير النتائج : لتوضيح النتائج أكثر قمنا برسم أشكال هندسية ، توضح . **Pseudomonas** تغير طبقة التثبيط لبكتيريا

المركب	التركيز (10 ³ مول/لتر)	التركيز	قطر منطقة التثبيط (مم)
A	1.4	a	-
	4.4	b	-
	8.1	c	-
B	1.4	a	8
	4.4	b	16
	8.1	c	-
C	1.4	a	-
	4.4	b	-
	8.1	c	-
D	1.4	a	-
	4.4	b	8
	8.1	c	-
E	1.4	a	-
	4.4	b	10
	8.1	c	22
F	1.4	a	-
	4.4	b	-
	8.1	c	18

جدول 4- تغير طبقة الكبت بمع التركيز بالنسبة لبكتيريا Pseudomonas

تفسير النتائج : لتوضيح النتائج أكثر قمنا برسم أشكال هندسية ، توضح . **Pseudomonas** تغير طبقة التثبيط لبكتيريا



مخطط V-4-تأثير مشتقات الأموكسيسيلين على البكتيريا Pseudomonas

عند التركيز الضعيف : المركبات الستة لم تبدي أية فعالية

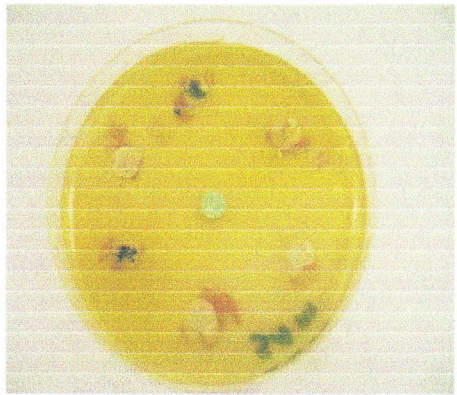
عند التركيز المتوسط : قطر الكبت 8 mm و 8 mm و 10mm للمركبات B و D و E على التوالي تبين أن البكتيريا أقوى فعالية من المركبات المحضرة .

أما المركبات A و C و F لم تبدي أية فعالية .

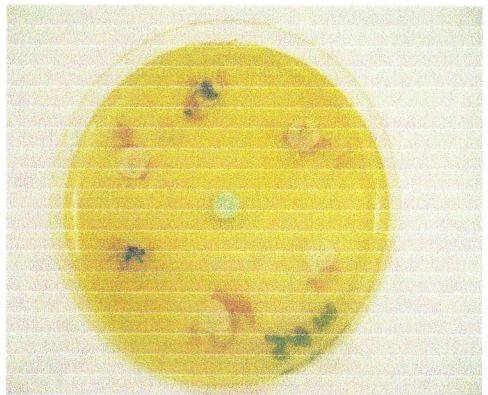
عند التركيز القوي : قطر الكبت 16 mm للمركب B يدل على أن البكتيريا متوسطة الحساسية تجاهه .

بينما قطر الكبت 22mm للمركب E 18mm للمركب F يعني أن البكتيريا حساسة لهذين المضادين لذا وجبأخذهما بعين الاعتبار .

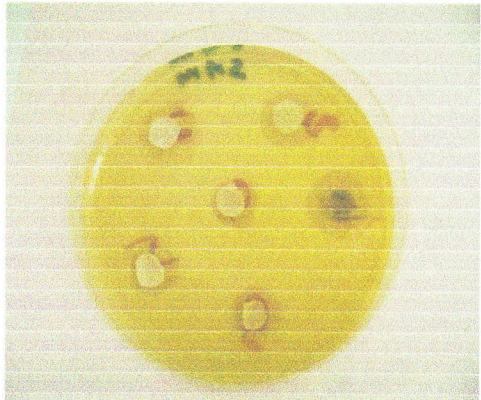
بينما المركبين A و C فلم تبديا أية فعالية .



(2)



(1)



(3)

**شكل ٧-٤- نتائج تأثير مشتقات الأموكسيسيلين على البكتيريا
بتراكيزها الثلاثة**

النتيجة العامة : على ضوء النتائج المحصل عليها بعد الدراسات السابقة للمضادات الحيوية المحضرّة بمختلف تراكيزها على أربعة أنواع من البكتيريا خلصنا إلى ما يلي :

درجة حساسية البكتيريا المستعملة				مشتقات الأموكسيسيلين
Pseudomonas	S.aureus	Ps. mirabilis	E.coli	
-	I	S	S	A
R	I	R	I	B
-	I	R	R	C
-	R	R	R	D
S	S	I	S	E
I	S	R	S	F

جدول 5- ملخص لتأثير المضادات المحضرّة على أنواع البكتيريا

الإشارات المدونة في الجدول تدل على :

(S) : بكتيريا حساسة للمضاد الحيوي (I) : بكتيريا متواسطة الحساسية للمضاد

(R) : بكتيريا ضعيفة الحساسية للمضاد (-) : تدل على عدم وجود أي تأثير

و من خلال الجدول السابق يمكن ترتيب المركبات حسب درجة قوّة فعاليتها تجاه الأنواع الأربع للبكتيريا :

الترتيب	المركبات	التسمية	البنية
1	المركب E	(2S,5R,6R)-6-[((3'-azophenyl 4'-hydroxy)acetamido]-3,3-dimethyl-7-oxo-4-thia-1-azabicyclo[3.2.0]heptane-2-carboxylic acid trihydrate	
2	المركب B	(2S,5R,6R)-6-[(4'-hydroxy 3'-iodophenyl)acetamido]-3,3-dimethyl-7-oxo-4-thia-1-azabicyclo[3.2.0]heptane-2-carboxylic acid trihydrate	
3	المركب F	(2S,5R,6R)- Isopropyl-6-[(p-hydroxyphenyl)acetamido]-3,3-dimethyl-7-oxo-4-thia-1-azabicyclo[3.2.0]heptane -2-carboxylic acid trihydrate	
4	المركب A	(2S,5R,6R)-6-[((3'-azophenyl 4'-hydroxy)acetamido]-3,3-dimethyl-7-oxo-4-thia-1-azabicyclo[3.2.0]heptane-2-carboxylic acid trihydrate	
5	المركب C	(2S,5R,6R)-6-[(3'-acetylphenyl 4'-hydroxy)acetamido]-3,3-dimethyl-7-oxo-4-thia-1-azabicyclo[3.2.0]heptane-2-carboxylic acid trihydrate	

	(2S,5R,6R)-Ethyl-6-[(p-hydroxyphenyl)acetamido]-3,3-dimethyl-7-oxo-4-thia-1-azabicyclo[3.2.0]heptane -2-carboxylic acid trihydrate	المركب D	6
--	--	----------	---

جدول V-6- ترتيب المشتقات المحضرة حسب قوة الفعالية

الخلاصة العامة :

إذن كما سبق و أن ذكرنا فقد استخدم العلماء عدة تقنيات لاستحداث بعض
الجزئيات التي تعوض الجزيئات الموجودة ، و التي أصبحت للأسباب
المذكورة آنفا حساسة لعدد كبير من البكتيريا فارتأنينا أن نتبع خطوة أولى
إحدى هذه التقنيات و التمثّلة في:

- حجب حلقة β-لاكتام التي تمثل الجزء الفعال في جزيئة المضاد على الإنزيم البكتيري -β-لاكتاماز الذي يقوم بتحليل الجزيئة بكسره لهذه الحلقة وذلك بتثبيت بعض الجزيئات على حلقة البنزن في المضاد لتلعب دور الحلق الحاجز الذي يتصدّى لهذا الإنزيم البكتيري (البنسييليناز أو البيتا لاكتاماز)، وذلك بإجراء بعض تفاعلات الاستبدال الإلكتروفيلي: الأسئلة بمركب ($\text{CH}_3\text{COOCCH}_3$) و الهلجنة بمحلول (I_2) ، أيضاً بتفاعل الديازة حيث أظهر مركباً الأزو (A,E) الناتجان ، و كذا مركب اليود (B) فعالية جيّدة ضدّ أنواع البكتيريا الأربع خصوصاً البكتيريا E. coli و S.aureus اللتان تفرزان إنزيمات البنسييليناز و البيتا لاكتاماز ، وحساسيتهما لهذا المشتق المحضر ثبت أننا قد توصلنا إلى الهدف المنشود والمتمثل في الوصول إلى الحجم المثالي الذي يمكن من تثبيط عمل البكتيريا و في نفس الوقت من إنزيماتها من تثبيط عمل المشتق.

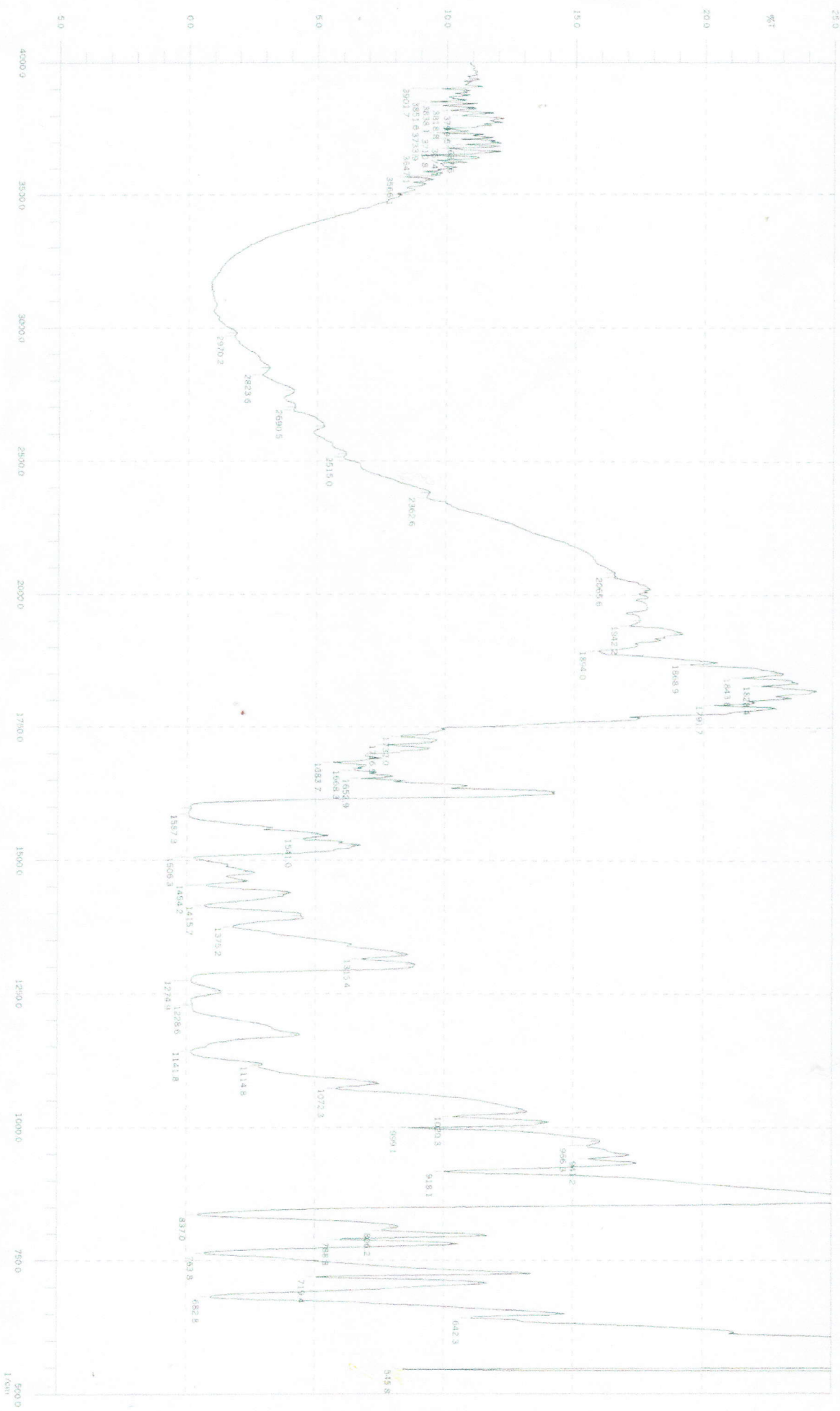
أيضاً بالنسبة للبكتيريا *Pseudomonas* المعروفة أيضاً بمقاومتها لمعظم المضادات أظهر كل من المشتق E و F فعالية ملحوظة ضدها . أما المركب C فلم يظهر فعالية تذكر .

أما التقنية الثانية التي اتبعناها في تحضير المشتقات الأخرى فهي تتمثل في القضاء على الإسهال الذي يمكن أن تسببه هذه الجزيئة لأنها ثنائية القطبية إذ لديها (NH_2 -، CO_2 -) و العمل يتمثل في إخفاء إحدى الوظيفتين حيث قمنا بأشارة الوظيفة الحمضية بواسطة كل من الكحولين الإيثانول والإيزوبروبانول . و المركبات الناتجة خاصة المركب F أعطى نتائج مرضية . أما المركب D فلم يظهر شيئاً يذكر.

لكن الملاحظة التي يجب أن تؤخذ بعين الاعتبار هنا هي أن التراكيز المستعملة يمكن أن تكون عالية نوعاً ما و هذا راجع ربما للمقاومة الكبيرة التي أصبحت تظهرها هذه الأنواع من البكتيريا حيث أنه لا يخلص منها إلا بتراكيز قوية ، وبذلك فهي ربما لا تكون في متناول الأطفال ، أو قد تسبب بعض الأمراض في أنحاء أخرى من الجسم بالنسبة للكبار وأيضاً يجب أن تؤخذ عن طريق الحقن.

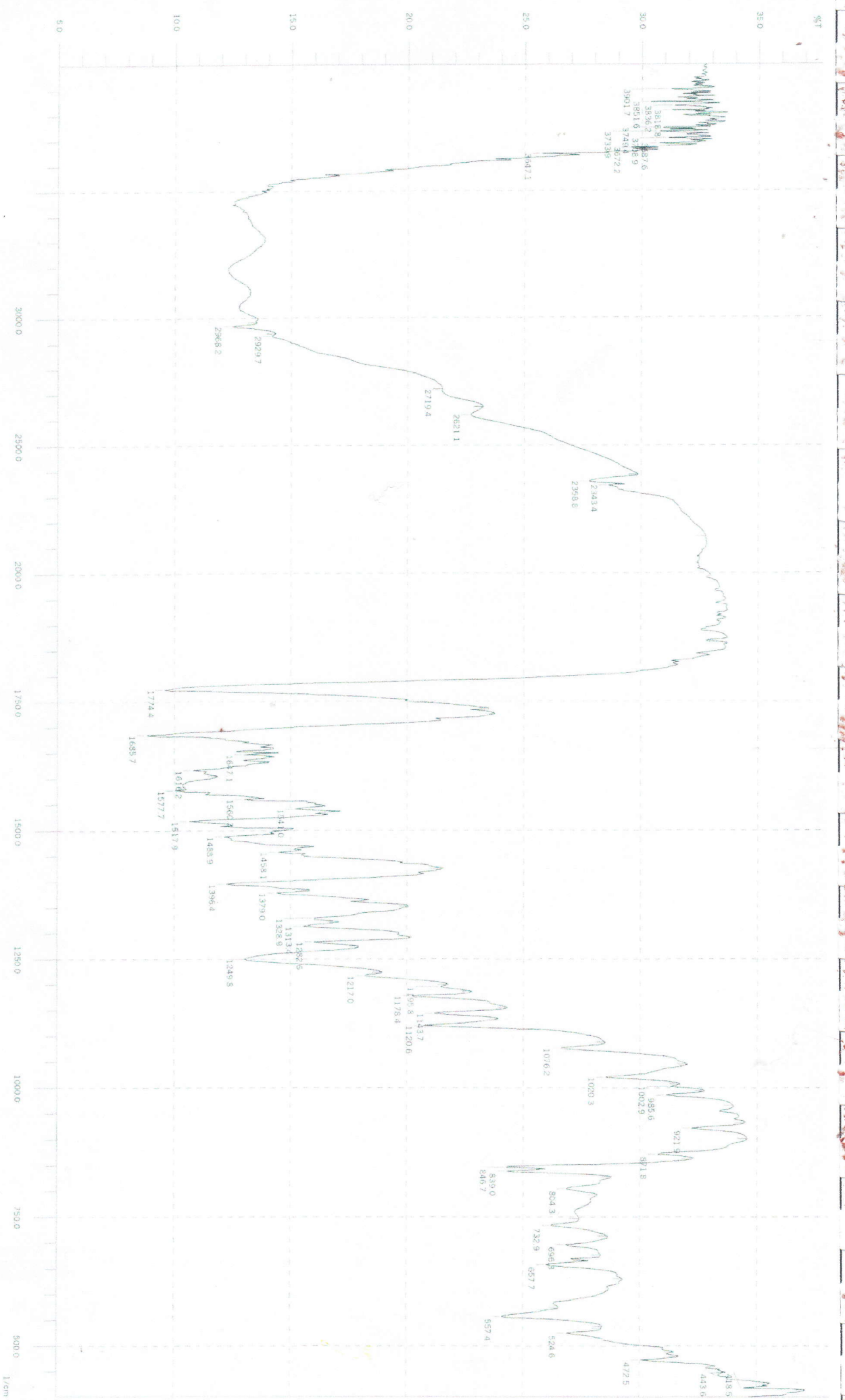
كذلك يجب التركيز على مركبات الأزو و محاولة تحضير مضادات أخرى بمركبات أخرى من نوع الأزو مع أسترتتها لتحسين ذوبانيتها لأنها أظهرت فعالية ملحوظة سواء في عملي أنا أو عمل زملائي في المخبر .

الله
يَعْلَمُ

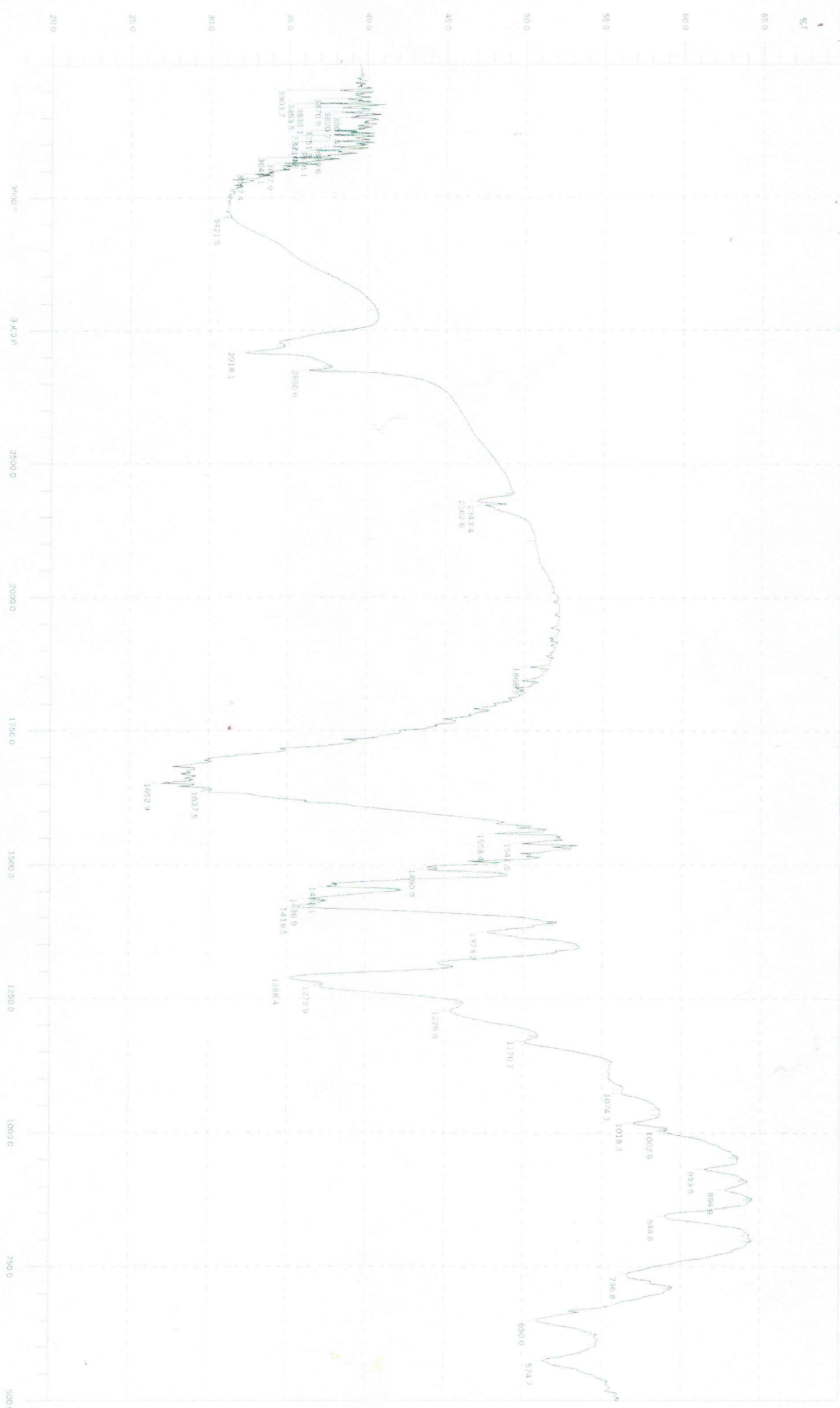


الشكل IV-1-1- طيف الأشعة تحت الحمراء E,A

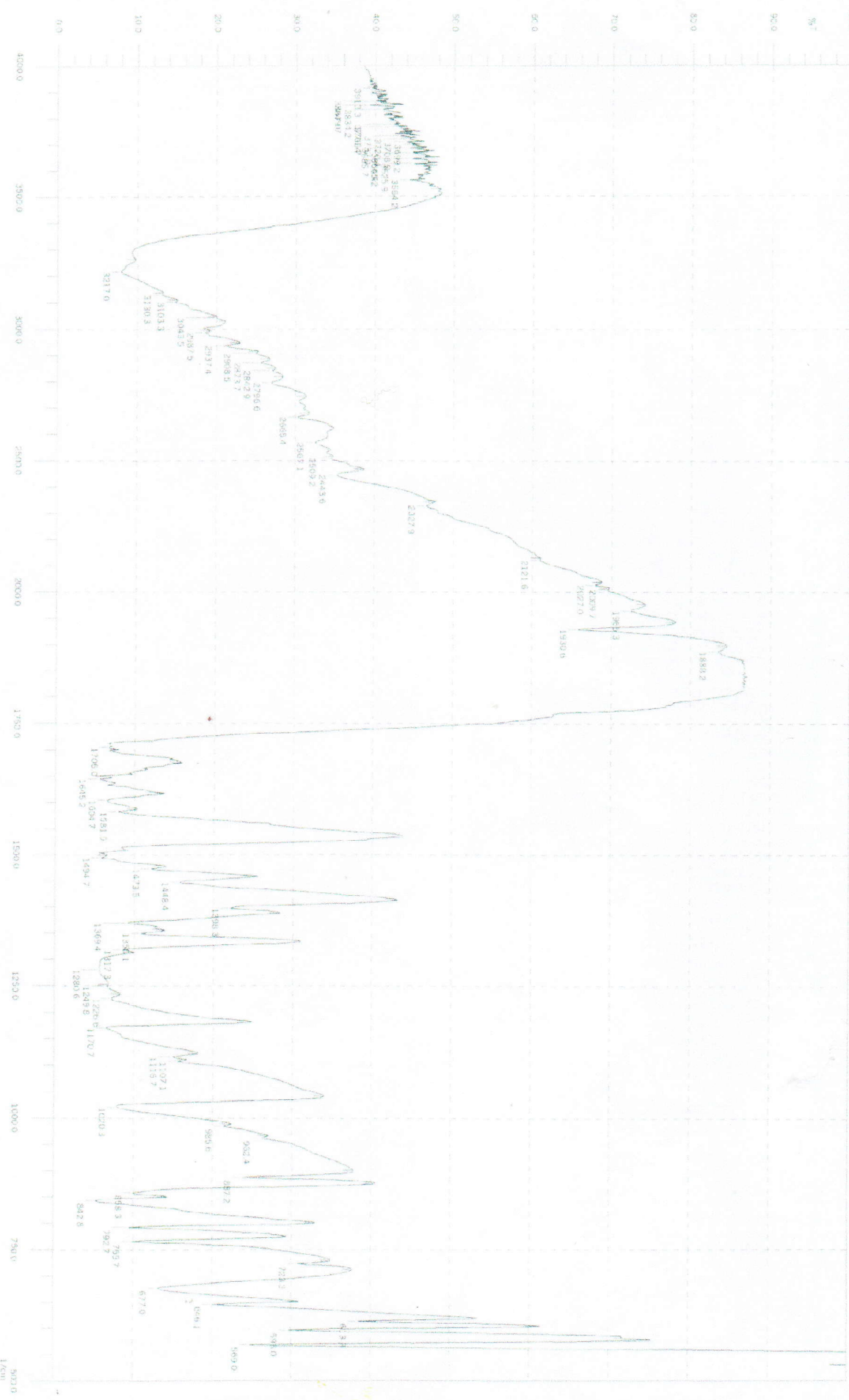
الشكل IV-2-طيف الأشعة تحت الحمراء للمركب B



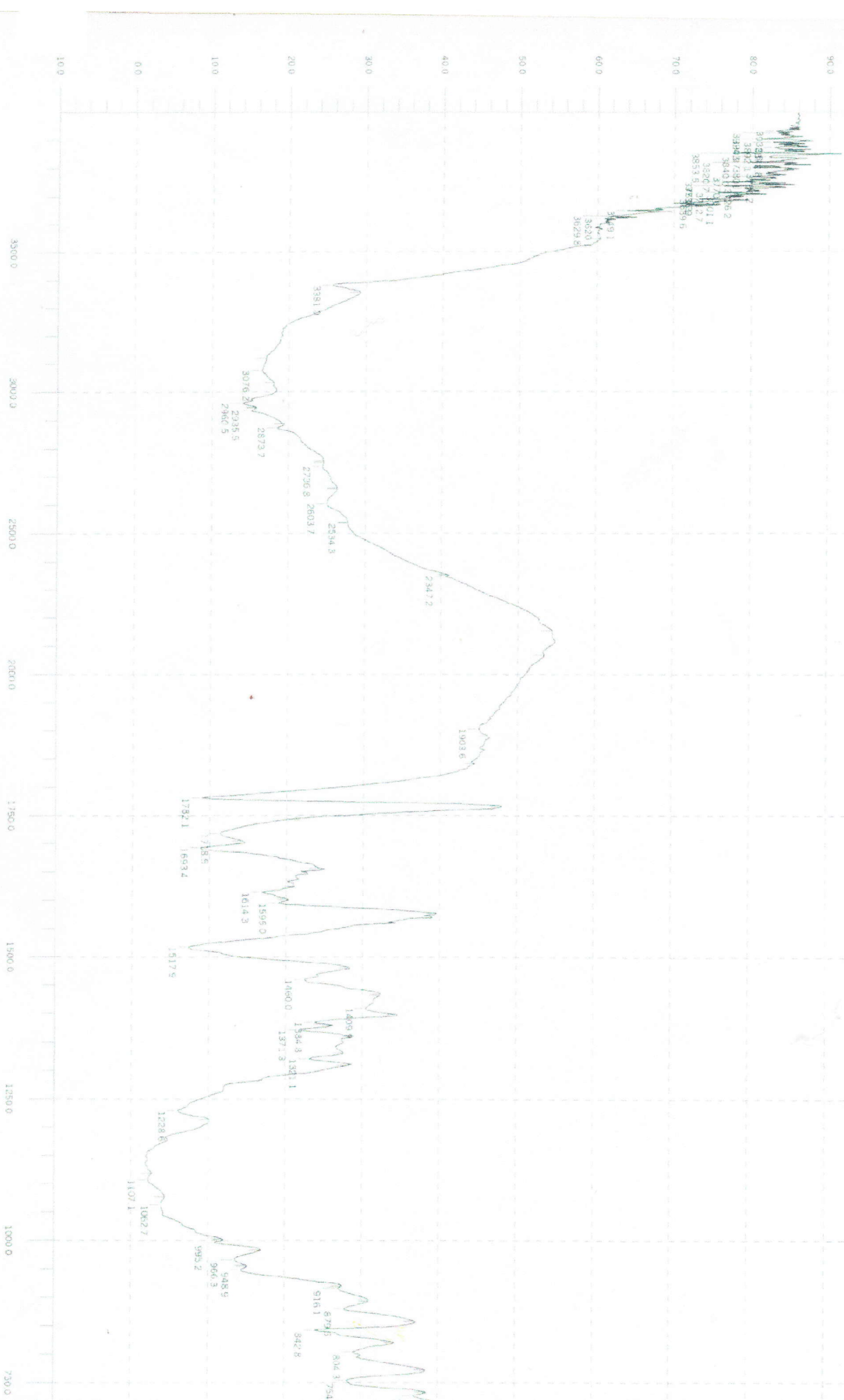
الشكل IV-3- طيف الأشعة تحت الحمراء المركب C

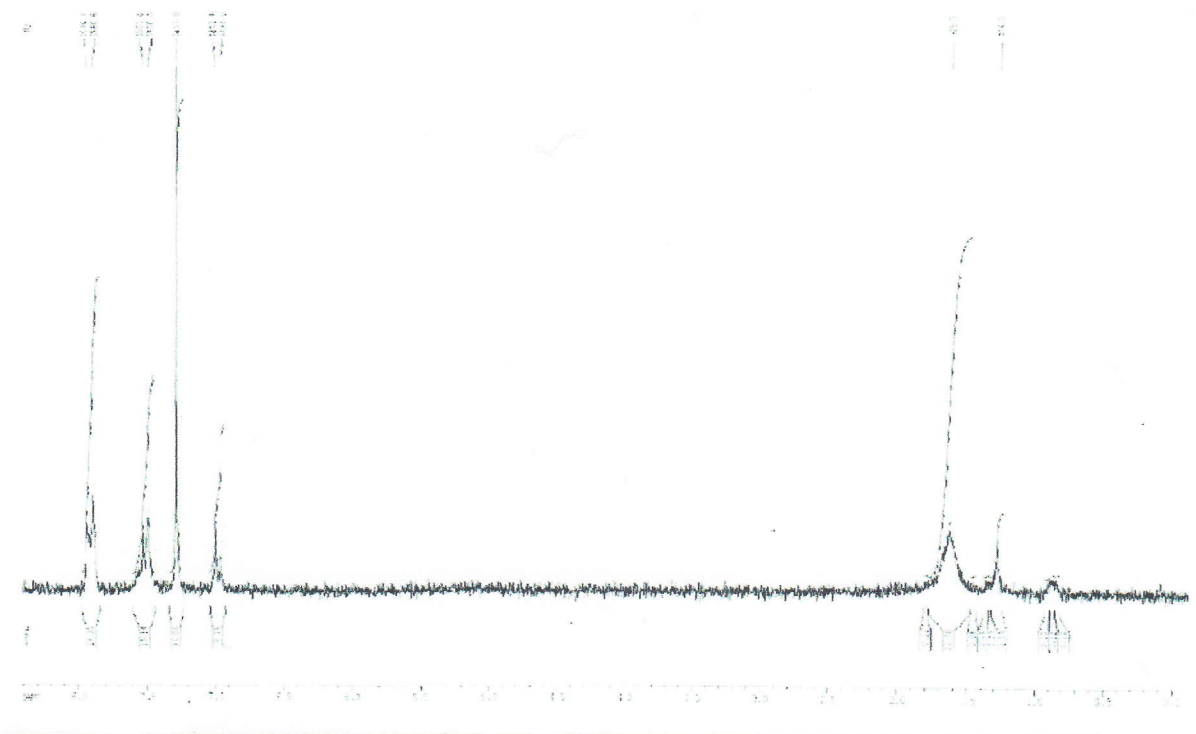


شكل IV-4-طيف الأشعة تحت الحمراء للمركب D



الشكل IV-6-طيف الأشعة تحت الحمراء للمركب F





الشكل IV-7-طيف الرنين النووي المغناطيسي¹ RMNH¹ للمركب A



الشكل IV-7-طيف الرنين النووي المغناطيسي¹ RMNH¹ للمركب E

الله
الله
الله

LES REFERENCES

- [1] N. Desroy. Synthèse des β -lactames polycycliques et du fragment C15-C30 des dolabélides, macrolides cytotoxiques d'origine marine, par catalyse organométallique. Thèse de doctorat Université Pierre et Marie Curie 30 novembre (2004) pp 18,19 et de 100 à 109
- [2] G.L. Patrick, Chimie pharmaceutique DE, BOECK. Paris (2003) P: de 76 à 117 2^{eme} édition
- [4] I. Sanou, K. L. Kam, A.D. Bationo, A. Traoré, F. Kouéta, L. DaoD. Yé, S.A. Sawadogo, I.P. Guissou. CHU de Rouen Maître Toile : Brahma CISSE (1999)
- [6] [http://fr.wikipedia.org/wiki/Substitution_Àlectrophile_aromatique »](http://fr.wikipedia.org/wiki/Substitution_Àlectrophile_aromatique)
- [9] B.S. Furniss, A.J. Hannaford, P.W.G. Smith, A.R. Tatchell. Pratical organic chemistry VOGL's
- [10] Tetrahedron Letters, Vol, 45.No.1.1January (2004). ISSN 0040-4039.
- [11] Hardol Hart Michigan State University, International Student Edition, Organic Chimisty.
- [12] Tetrahedron Letters, Vol, 59.No.1.1January (2003). ISSN 0040-4020.
- [13] Halogénures d'acyles, anhydrides d'acides, cétènes. Cours de chimie Organique - G. Dupuis - Lycée Faidherbe de Lille .
- [15] J. Clark. The mechanism for the ésterification reaction (2002) (modified 2004).
- [16] Ester Un article de Wikipédia, l'encyclopédie libre. licence de documentation libre GNU Dernière modification de cette page le 12 juillet (2007)
- [18] R. M. Silverstein , G. C. Basler , T. C. Morill , Identification Spectrometrique des composés organiques. (1998) Traduction américaine par E. Larue Révision scientifique par A. Schanck. 5^{eme} édition

المراجع

- [3] مجلة العلوم ، تحديات المقاومة البكتيرية .
- [5] د. عادل نوفل . الكيمياء الصيدلية القسم النظري (1981) المطبعة الجديدة دمشق ص: من 253 إلى 272.
- [7] الأسس الإلكترونية لميكانيكية التفاعلات العضوية . يوسف لطفي علي الطبعة الأولى (2003)
- [8] د. ع. ح. فهد، د. ع. س. وصفي ، د. م. م. الجلي . الكيمياء العضوية (1989) الطبعة الأولى 1399 ، مطبعة كلية العلوم .
- [14] د.أ. مالو ، د.م. البحرة ، د.د. العظمة الكيمياء العضوية ، الجزء العملي (1992).
- [17] أ. مالو، م. البحرة ، ه. العظمة ، ن. شمس الدين. الكيمياء الحيوية ، الجزء العملي (1989)